



УДК 547.962.07

ИССЛЕДОВАНИЕ ПО СИНТЕЗУ  $\alpha$ -БУНГАРОТОКСИНАIII\*. СИНТЕЗ ЗАЩИЩЕННОГО 74-ЧЛЕННОГО ПЕПТИДА  
С ПОЛНОЙ АМИНОКИСЛОТНОЙ ПОСЛЕДОВАТЕЛЬНОСТЬЮ  
 $\alpha$ -БУНГАРОТОКСИНАВольпина О. М., Дешко Т. Н., Михалева И. И.,  
Иванов В. Т.Институт биоорганической химии им. М. М. Шемякина  
Академии наук СССР, Москва

Описан синтез защищенного 74-членного полипептида, отвечающего полной аминокислотной последовательности  $\alpha$ -бунгаротоксина. Проведен поиск оптимального пути сборки 74-членного пептида из фрагментов 1—19, 20—74, 1—37 и 38—74  $\alpha$ -бунгаротоксина. Методом КД-спектроскопии прослежена взаимосвязь между длиной защищенных пептидов, их растворимостью и особенностями их вторичной структуры.

В предыдущих статьях [1, 2] настоящей серии рассматривался синтез пептидных блоков, в сумме соответствующих полной аминокислотной последовательности  $\alpha$ -бунгаротоксина, нейротоксина из яда змеи *Bungarus multicinctus*: 1—19, 20—37 и 38—74. В настоящей работе изучены пути сборки молекулы токсина из фрагментов и выбор оптимального из них с целью получения защищенного 74-членного пептида в препаративном масштабе.

В соответствии с набором синтезированных нами ранее защищенных пептидных блоков последовательности 1—19, 20—37 и 38—74 токсина представлялось целесообразным прежде всего оценить возможности двух вариантов синтеза пептида 1—74: по схеме (1—19) + [(20—37) + (38—74)], т. е. конденсацией N-концевого нонадекапептида и 55-членного пептида, полученного в свою очередь из C-концевой «половины» (38—74) и пептида (20—37), или по схеме [(1—19) + (20—37)] — (38—74), т. е. конденсацией пептидов, соответствующих N- и C-концевым «половинам» последовательности молекулы токсина. На схеме представлены оба варианта синтеза 74-членного полипептида последовательности  $\alpha$ -бунгаротоксина.

55-членный пептид 20—74 (III) был получен с выходом 33% конденсацией октадекапептида 20—37 (II) и гептапентапептида 38—74 (Ia) ДСС/НОВТ-методом в диметилфосфорамиде. Следует отметить, что полученный продукт обладал более низкой растворимостью в диметилфосфорамиде, чем остальные пептиды, полученные в настоящей работе; это свойство было использовано для удаления остатков непрореагировавших веществ. Чистоту выделенного 55-членного пептида (III) контролировали определением N-концевых аминокислот дансильным методом и данными аминокис-

\* Сообщение I см. [1].

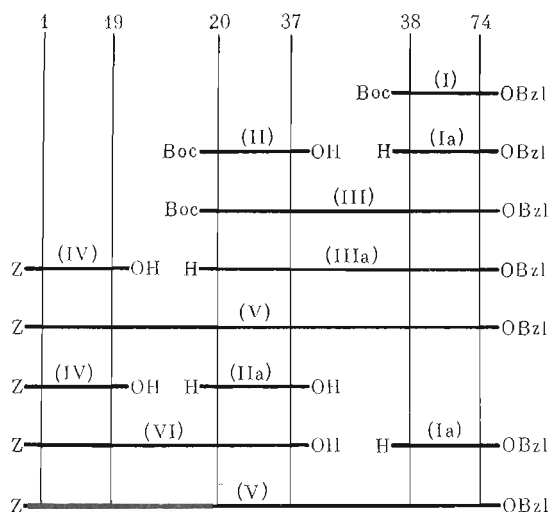


Схема синтеза защищенного полипептида с последовательностью  $\alpha$ -бунгаротоксина

лотного анализа (таблица). Характеристика степени чистоты пептида (III) колоночной гель-хроматографией оказалась невозможной из-за низкой растворимости продукта в диметилформамиде.

Далее, после удаления N<sup>α</sup>-Boc-защитной группы 55-членный пептид конденсировали с нонадекапептидом 1—19 (IV) ДСС/НОВТ-методом. Продукт реакции, 74-членный пептид (V), был выделен гель-хроматографией в диметилформамиде на смоле Bio-Beads S-X1 (рис. 1), используемой в настоящей работе для хроматографии пептидов, размер которых превышал предел эксклюзии сефадекса LH-20 в диметилформамиде (3000—4000). Выход пептида 1—74 составлял лишь 16%, причем даже после 3-кратной хроматографии не удалось добиться полного отделения исходного пептида 20—74 (IIIa) от конечного продукта (V).

Более удобным оказался второй вариант синтеза 74-членного пептида. N-Концевая «половина молекулы» токсина 1—37 (VI) была синтезирована

Данные аминокислотного анализа синтезированных соединений

АМИНОКИСЛОТА	20—74 (III)		1—37 (VI)		1—74 (V)			
	(20—37) + (38—74)		(1—19) + (20—37)		(20—74) + (1—19)		(1—37) + (38—74)	
	теория	найдено	теория	найдено	теория	найдено	теория	найдено
Asp	2+2	3,4	0+2	2,0	4+0	4,0	2+2	3,6
Thr	0+3	3,3	4+0	2,9	3+4	5,0	4+3	6,5
Ser	2+2	3,2	2+2	3,0	4+2	6,4	4+2	4,2
Glu	1+4	5,1	0+1	1,0	5+0	5,1	1+4	5,3
Pro	0+5	4,0	3+0	3,5	5+3	3,4	3+5	7,8
Gly	1+2	3,0	1+1	2,2	3+1	4,8	2+2	4,3
Ala	1+2	3,9	2+1	3,2	3+2	5,2	3+2	5,8
Cys	3+5	3,5	2+3	3,1	8+2	5,8	5+5	5,5
Val	0+3	3,0	2+0	1,8	3+2	3,7	2+3	5,5
Met	1+0	0,4	0+1	0,8	1+0	0,6	1+0	0,5
He	—	—	2+0	1,8	0+2	1,7	2+0	2,0
Leu	1+1	1,8	0+1	0,8	2+0	1,8	1+1	1,6
Tyr	1+1	0,4	0+1	0,6	2+0	1,4	1+1	1,3
Phe	1+0	1,0	0+1	1,0	1+0	0,7	1+0	1,0
His	0+1	0,9	1+0	0,9	1+1	1,2	1+1	1,2
Lys	1+5	6,1	0+1	1,1	6+0	5,5	1+5	5,5
Arg	2+1	2,7	0+2	2,0	3+0	2,1	1+2	1,7

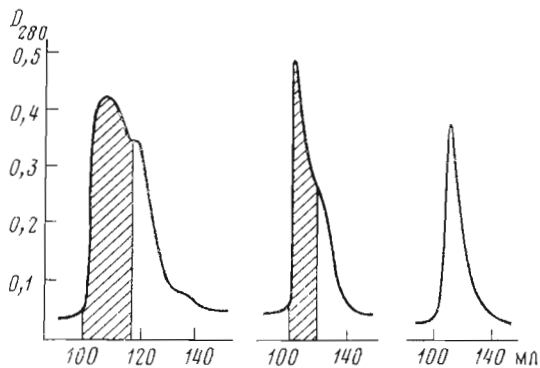


Рис. 1

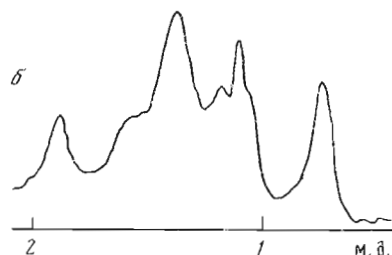
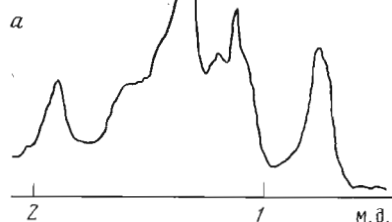


Рис. 2

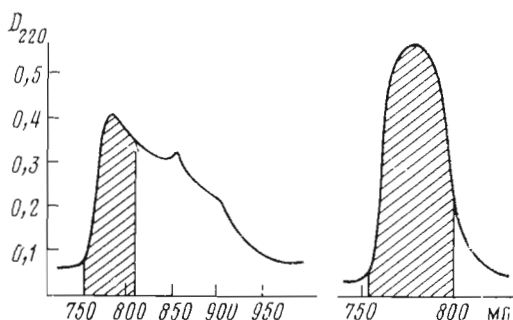


Рис. 3

Рис. 1. Хроматографическое выделение полипептида 1-74 (V), полученного по схеме (1-19) + (20-74), на колонке (24×760 мм) со смолой Bio-Beads S-X1 в диметилформамиде. Заштрихована область, соответствующая отбираемой фракции

Рис. 2. ПМР-спектры октадекапептида 20-37 в  $d_6$ -диметилсульфоксиде до (а) и после (б) обработки  $CF_3COOH$ , содержащей 1% меркаптоэтанола (с 10 мг/мл)

Рис. 3. Хроматографическое выделение полипептида 1-37 (VI) на колонке (55×1000 мм) со смолой Bio-Beads S-X1 в диметилформамиде. Заштрихована область, соответствующая отбираемой фракции

на DCC/НОВТ-конденсацией нонадекапептида 1-19 (IV) и октадекапептида 20-37 (IIa), полученного удалением Вос-защитной группировки у производного (II) трифторуксусной кислоты в присутствии меркаптоэтанола (схема).

Известно, что ацидолитическое отщепление Вос-группировки сопряжено с опасностью *tert*-бутилирования индольного кольца триптофана [3, 4], причем скорость и специфичность *tert*-бутилирования в высокой степени зависят от характера отщепляющих реагентов и окружения остатка триптофана в цепи [5]. Спектральные характеристики различных С- и С,  $N^{in}$ -*tert*-бутилированных производных триптофана подробно изучены в последнее время [6-9]. Установлено, что в спектрах  $^1H$ -ЯМР этих производных синглетные сигналы 9 протонов *tert*-бутильной группы, внедренной в положения  $N^{in}$ , С<sup>2</sup>, С<sup>5</sup> и С<sup>7</sup>, имеют соответственно следующие значения химических сдвигов: 1,60; 1,44; 1,49 и 1,37 м.д. [7]. Чтобы оценить степень протекания этой побочной реакции при деблокировании октадекапептида (II), мы провели сравнительный анализ ПМР-спектров этого пептида до и после обработки трифторуксусной кислотой в присутствии 1% меркаптоэтанола. Из рис. 2 видно, что *tert*-бутилирование остатка триптофана в заметной степени не происходит, так как новые сигналы в области 1-2 м.д. в спектре соединения (IIa) отсутствуют.

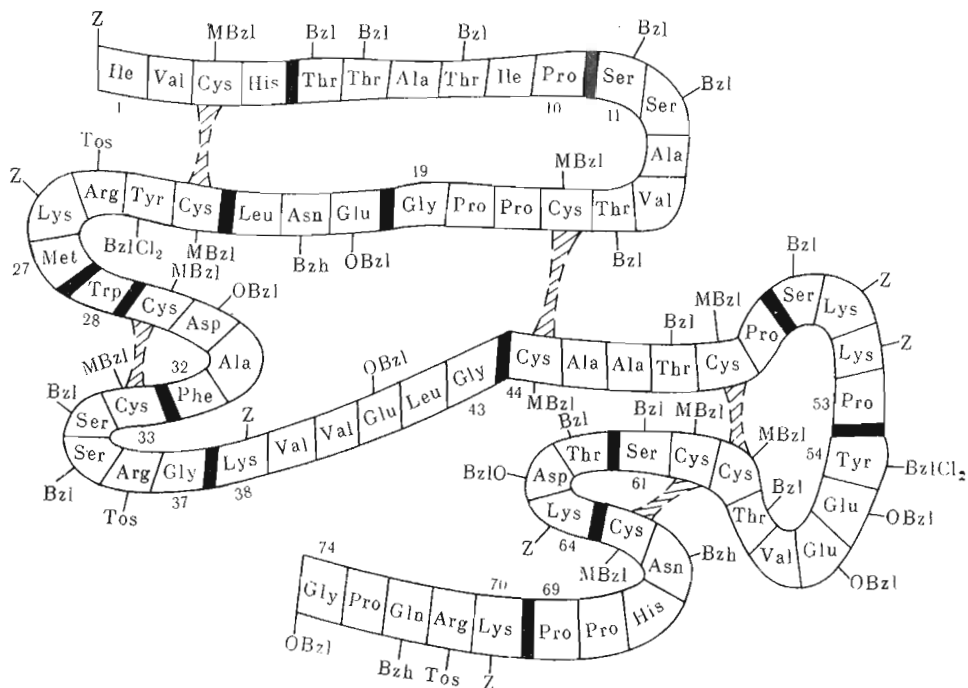


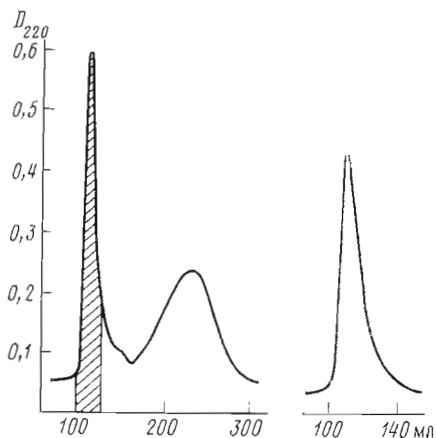
Рис. 4. Защищенный 74-членный полипептид с последовательностью  $\alpha$ -бунгаротоксина

Защищенный 37-членный пептид (VI), соответствующий N-концевой «половине» последовательности  $\alpha$ -бунгаротоксина, был очищен двукратной гель-фильтрацией на смоле Bio-Beads S-X1 в диметилформамиде (рис. 3) и выделен с выходом 42%. Данные аминокислотного анализа гептатриаконтапептида (VI) приведены в таблице.

Конденсацией эквимольных количеств пептидов 1—37 (VI) и 38—74 (Ia) ДСС/НОВТ-методом в диметилформамиде был получен соответствующий тетрагептаконтапептид 1—74 (V) с выходом 91%. Структура защищенного 74-членного пептида показана на рис. 4. Продукт реакции выделяли гель-хроматографией на смоле Bio-Beads S-X1 в диметилформамиде. Как видно из приведенной на рис. 5 кривой элюции, конечный продукт реакции легко отделялся от непрореагировавших исходных веществ. Таким образом, по схеме (1—37) + (38—74) был получен защищенный 74-членный полипептид с последовательностью  $\alpha$ -бунгаротоксина в препаративных количествах (1 г). Полученный продукт после обработки  $\text{HBr}/\text{CH}_3\text{COOH}$  обнаруживал в качестве N-концевой только одну аминокислоту — изолейцин. Данные аминокислотного анализа приведены в таблице. Следует отметить, что при гидролизе в стандартных условиях достаточно длинных пептидов, имеющих многочисленные защитные группировки, для ряда аминокислот (Cys, Tyr, Ser, Thr, Met, Pro, Arg), по данным аминокислотного анализа, мы получали заниженные результаты, что связано с протеканием ряда побочных реакций в ходе гидролиза защищенных пептидов [1].

Учитывая сложности, связанные с гидролизом длинных защищенных пептидов, при обработке данных аминокислотного анализа пептидов (III), (VI) и (V) оказалось удобным проводить оценку «диагностических аминокислот», т. е. устойчивых в условиях кислотного гидролиза аминокислот, которые встречаются в одном из конденсируемых фрагментов и не встречаются в другом. Например, в пептиде 20—74 (III), синтезированном из фрагментов (20—37) + (38—74), найдено 3 остатка валина (который содержится только во фрагменте 38—74) и 1 остаток фенилаланина (содержится только в октадекапептиде 20—37) (см. таблицу).

Рис. 5. Хроматографическое выделение пептида 1-74 (V), синтезированного по схеме (1-37)+(38-74) на колонке (24×760 мм) со смолой Bio-Beads S-X1 в диметилформамиде. Заштрихована область, соответствующая отбираемой фракции



При выборе стратегии синтеза мы остановились на принципе использования максимального числа гидрофобных защитных групп, полагая, что их присутствие, с одной стороны, сведет к минимуму протекание побочных реакций при синтезе, а с другой — позволит сохранить достаточно высокую растворимость в органических средах. И действительно, в процессе синтеза нам почти не пришлось сталкиваться с трудностями, которые бы вызвала плохая растворимость фрагментов: за исключением фрагмента (20-74), все пептиды достаточно хорошо растворялись в диметилформамиде, что определило успех синтеза и очистки.

В связи с тем что в ходе синтеза защищенной последовательности  $\alpha$ -бунгаротоксина нами был получен большой набор защищенных пептидов различной длины, представлялось интересным выяснить связь между длиной пептидов, их конформационными особенностями и растворимостью. С этой целью были исследованы КД-спектры С-концевых пептидов 65-74, 54-74, 44-74 и 38-74 (рис. 6), пептидов, отвечающих средним сегментам полной последовательности — 11-19, 20-28 и 44-53 (рис. 7), N-концевых пептидов 1-10 и 1-37, а также защищенного  $\alpha$ -бунгаротоксина (рис. 8). Кроме того, при попытке растворения выявилась недостаточная растворимость 8-18-членных пептидов с последовательностями 20-37, 28-43, 29-37, 32-43, 54-61, 54-64.

Известно, что по мере увеличения длины олигопептида с монотонной последовательностью наблюдается тенденция к переходу от неупорядоченных конформаций у пептидов, состоящих из 2-5 аминокислот, к формам, содержащим  $\beta$ -изгибы, или к  $\beta$ -складчатым ассоциатам у пептидов, содержащих от 6 до 10 аминокислотных остатков; у более длинных пептидов усиливается тенденция к образованию  $\alpha$ -спиральных структур [10-12].

Учитывая изложенное, мы объясняем низкую растворимость перечисленных выше пептидов их склонностью к ассоциации за счет образования  $\beta$ -структур. Растворимые пептиды 1-10, 38-74 и 1-74 не обнаруживают существенных изменений кривых КД в интервале концентраций  $10^{-3}$ - $10^{-5}$  М, что говорит об их низкой склонности к ассоциации. Общий вид приведенных на рис. 5-7 кривых КД, а именно слабые отрицательные  $n$ - $\pi^*$ -эффекты Коттона при  $\sim 220$  нм, более интенсивные отрицательные эффекты при 198-207 нм и положительные эффекты при  $\sim 190$  нм указывают на доминирование неупорядоченных структур. Слабые признаки наличия  $\alpha$ -спиральных участков (18%, считая по методу, приведенному в работе [13]) появляются лишь у пептида с максимальной длиной — защищенного  $\alpha$ -бунгаротоксина. По-видимому, нерегулярная первичная структура исследованных пептидов препятствует образованию ими упорядочен-

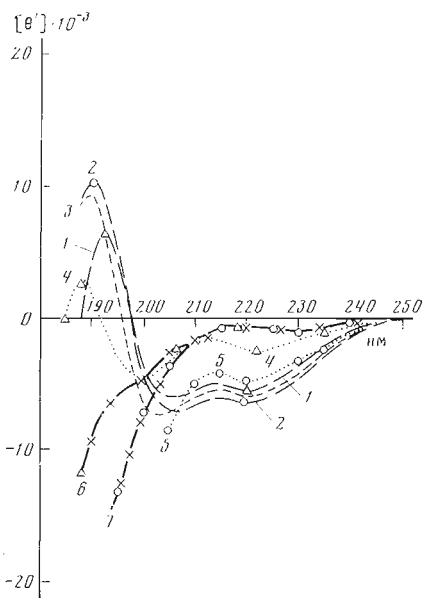


Рис. 6

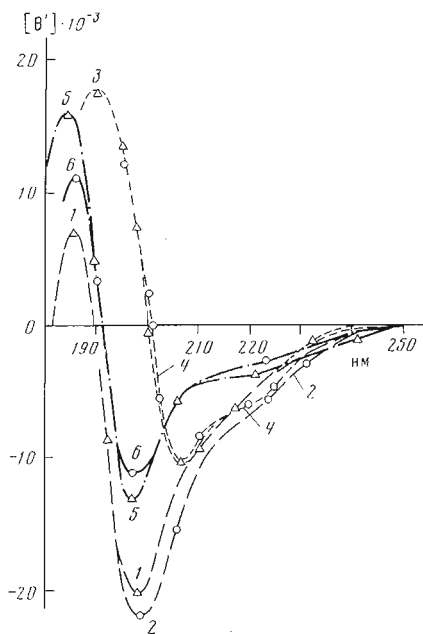


Рис. 7

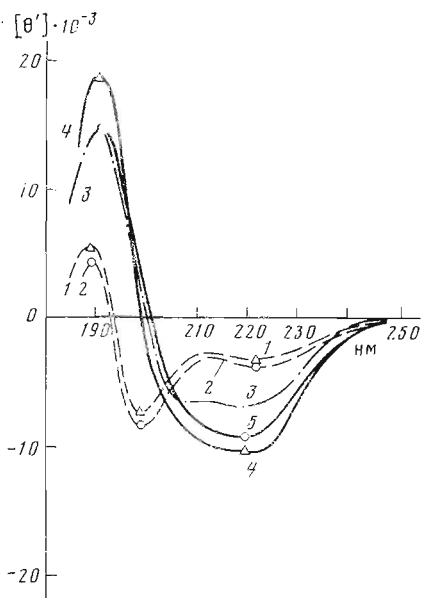


Рис. 8

Рис. 6. КД-спектры С-концевых фрагментов  $\alpha$ -бунгаротоксина: 38–74 (1 – с  $3,34 \cdot 10^{-5}$  М, 2 – с  $1,05 \cdot 10^{-3}$  М), 44–74 (3 – с  $2,35 \cdot 10^{-5}$  М), 54–74 (4 – с  $2,91 \cdot 10^{-5}$  М, 5 – с  $0,94 \cdot 10^{-3}$  М) и 65–74 (6 – с  $1,51 \cdot 10^{-4}$  М, 7 – с  $1,13 \cdot 10^{-3}$  М)

Рис. 7. КД-спектры средних фрагментов  $\alpha$ -бунгаротоксина 11–19 (1 – с  $1,04 \cdot 10^{-4}$  М, 2 – с  $1,22 \cdot 10^{-3}$  М), 20–28 (3 – с  $0,88 \cdot 10^{-4}$  М, 4 – с  $1,15 \cdot 10^{-4}$  М) и 44–53 (5 – с  $1,15 \cdot 10^{-4}$  М, 6 – с  $1,04 \cdot 10^{-3}$  М)

Рис. 8. КД-спектры N-концевых фрагментов и защищенного  $\alpha$ -бунгаротоксина: 1–10 (1 – с  $1,61 \cdot 10^{-4}$  М, 2 – с  $1,47 \cdot 10^{-3}$  М), 1–37 (3 – с  $2,82 \cdot 10^{-5}$  М) и 1–74 (4 – с  $3,49 \cdot 10^{-5}$  М, 5 – с  $0,83 \cdot 10^{-4}$  М)

ных структур и служит одной из причин их относительно высокой растворимости.

Таким образом, в результате работы был в препаративных количествах получен наиболее длинный пептид, когда-либо синтезированный в растворе с использованием стратегии максимальной защиты боковых групп. Результаты его деблокирования и окисления с целью замыкания дисульфидных мостиков будут рассмотрены в последующем сообщении.

## Экспериментальная часть

Основные материалы и методы, использованные в работе, описаны в сообщении [1]. Спектры кругового дихроизма сняты на приборе «Joan III» (Франция), в качестве растворителя использован спектрально чистый трифторэтанол, концентрация растворов составляла  $1 \cdot 10^{-2}$  и  $1 \cdot 10^{-4}$  М. Были использованы кюветы с толщиной слоя 1; 0,1; 0,01 и 0,001 см.

ЯМР-спектры сняты на спектрометре Varian SC300 (США) в  $d_6$ -диметилсульфоксиде, в качестве внутреннего стандарта использовали тетраметилсилан.

*С-Концевой пептид последовательности 20–74 (III)*. 100 мг (0,014 ммоль) гептатриаконтапептида (I) обрабатывали 45 мин 15 мл 50%  $CF_3COOH$  в  $CH_2Cl_2$ . Раствор упаривали, остаток многократно промывали эфиром и получали трифторацетат пептида (Ia) с выходом 98 мг (98%).

К раствору 63 мг (0,017 ммоль) октадекапептида (II) в 10 мл диметилформамида при 0°С прибавляли 3,5 мг (0,017 ммоль) DCC и 3 мг (0,022 ммоль) НОВТ, а затем раствор 98 мг (0,0137 ммоль) трифторацетата аминок компонента (Ia) и 0,0014 мл (0,0137 ммоль) N-метилморфолина в 20 мл диметилформамида. Реакционную массу перемешивали 2 ч при 0°С и 1 сут при 25°С, затем к раствору прибавляли 1 мг (0,005 ммоль) DCC и перемешивали еще 3 сут. Пептид осаждали водой, отфильтровывали и промывали на фильтре метанолом, диметилформаидом, метанолом и эфиром. Получен 55-членный пептид (III) с выходом 50 мг (33%), т.пл. >200°С (разл.).

*N-Концевой пептид последовательности 1–37 (VI)*. 375 мг (0,1 ммоль) октадекапептида (II) растворяли в 20 мл  $CF_3COOH$ , содержащей 1% меркаптоэтанола, через 30 мин растворитель упаривали, остаток промывали эфиром и получали трифторацетат октадекапептида (IIa) с выходом 358 мг (95%). 277 мг (0,1 ммоль) нонадекапептида (IV) растворяли в 15 мл диметилформамида, охлаждали до 0°С и добавляли 15 мг (0,11 ммоль) НОВТ и 20,6 мг (0,10 ммоль) DCC. Реакционную массу перемешивали 1 ч при 0°С и 2 ч при 20°С, затем приливали смесь 358 мг (0,096 ммоль) пептида (IIa) и 0,021 мл (0,19 ммоль) N-метилморфолина в 23 мл диметилформамида. Раствор выдерживали 2 сут, нейтрализовали уксусной кислотой и приливали эфир. Осадок отфильтровывали, промывали метанолом и двукратной хроматографией на колонке (55×1000 мм) со смолой Bio-Beads S-X1 в диметилформаиде выделяли пептид (VI) (рис. 3). Выход 270 мг (42%), т.пл. >260°С (разл.),  $[\alpha]_D^{20} - 64,9^\circ$  (с 0,7;  $CF_3CH_2OH$ ).

*Защищенный пептид последовательности 1–74 (V)* (рис. 4). I. а) 40 мг (3,7 мкмоль) пептида (III) растворяли в 20 мл  $CF_3COOH$ , содержащей 1% меркаптоэтанола, через 15 мин растворитель упаривали, остаток многократно промывали эфиром и выделяли трифторацетат пептида (IIIa) с выходом 38 мг (95%). б) 13 мг (4,8 мкмоль) нонадекапептида (IV) растворяли в смеси 7 мл диметилформамида и 5 мл гексаметапола, охлаждали до 0°С и прибавляли 0,99 мг (4,8 мкмоль) DCC, 0,85 мг (6,25 мкмоль) НОВТ, 38 мг (3,5 мкмоль) трифторацетата аминок компонента (IIIa) и 0,39 мкл (3,5 мкмоль) N-метилморфолина. Реакционную массу перемешивали 2 ч при 0°С и 1 сут при 25°С, затем прибавляли 0,3 мг (1,45 мкмоль) DCC и перемешивали еще 3 сут. Пептид осаждали водой, отфильтровывали, промывали метанолом, эфиром и трехкратной хроматографией на колонке (24×760 мм) со смолой Bio-Beads S-X1 в диметилформаиде (рис. 1) выделяли защищенный  $\alpha$ -бунгаротоксин (V). Выход 8 мг (16%).

II. 64 мг (0,01 ммоль) гептатриаконтапептида (VI) растворяли в 30 мл диметилсульфоксида, охлаждали до 0°С и прибавляли 2,06 мг (0,01 ммоль) DCC, 2 мг (0,015 ммоль) НОВТ и 80 мг (0,011 ммоль) трифторацетата аминок компонента (Ia) с 1,2 мкл (0,011 ммоль) N-метилморфолина. Реакционную массу перемешивали 2 ч при 0°С и 1 сут при 25°С, затем прибавляли 1,03 мг (0,005 ммоль) DCC и перемешивали еще 3 сут. К реакционной сме-

си приливали воду, полученный осадок отфильтровывали, промывали на фильтре метанолом и растворяли в диметилформамиде, нерастворимый остаток отфильтровывали. К раствору приливали воду, выпавший осадок отфильтровывали и промывали метанолом и эфиром. Полученный пептид очищали двукратной хроматографией на колонке (24×760 мм) со смолой Bio-Beads S-X1 в диметилформамиде (рис. 5). Получали защищенный  $\alpha$ -бунгаротоксин с выходом 124 мг (91%), т.пл. >295°С (разл.),  $[\alpha]_D^{20}$  -36,6° (с 1,4; CF<sub>3</sub>CH<sub>2</sub>OH).

#### ЛИТЕРАТУРА

1. Михалева И. И., Мягкова М. А., Жукова Г. Ф., Иванов В. Т. (1980) Биоорган. химия, 6, 982-1007.
2. Вольпина О. М., Дейгин В. И., Михалева И. И., Иванов В. Т. (1980) Биоорган. химия, 6, 1133-1154.
3. Alakhov Y. B., Kiryushkin A. A., Lipkin V. M. (1970) Chem. Commun., 406-407.
4. Jaeger E., Knof S., Schmidt I., Thamm P., Wunsch E. (1976) Abstracts of USSR-FRG Symposium on Chemistry of Peptides and Proteins, pp. 4-6.
5. Löw M., Kisfaludy L., Sohar P. (1978) Hoppe-Seyler's Z. Physiol. Chem., 359, 1643-1651.
6. Jaeger E., Thamm P., Knof S., Wunsch E. (1978) Hoppe-Seyler's Z. Physiol. Chem., 359, 1617-1628.
7. Jaeger E., Thamm P., Knof S., Wunsch E. (1978) Hoppe-Seyler's Z. Physiol. Chem., 359, 1629-1636.
8. Löw M., Kisfaludy L. (1978) Hoppe-Seyler's Z. Physiol. Chem., 359, 1637-1642.
9. Chino N., Masui Y., Sakakibara S. (1977) in: Peptide Chemistry 1977 (Shiba T., ed.), p. 27, Protein Research Foundation.
10. Varon A., Katchalski E., Berger A., Fasman G. D. (1971) Biopolymers, 10, 1107-1120.
11. Toniolo C. (1971) Biopolymers, 10, 1707-1717.
12. Goodman M., Naider F., Toniolo C. (1971) Biopolymers, 10, 1719-1730.
13. Greenfield N., Fasman G. D. (1969) Biochemistry, 8, 4108-4116.

Поступила в редакцию  
26.XII.1979

### SYNTHETIC STUDY OF $\alpha$ -BUNGAROTOXIN. III. SYNTHESIS OF THE PROTECTED 74-MEMBERED PEPTIDE WITH ENTIRE AMINO ACID SEQUENCE OF $\alpha$ -BUNGAROTOXIN

VOL'PINA O. M., DESHKO T. N., MIKHALEVA I. I.,  
IVANOV V. T.

*M. M. Shemyakin Institute of Bioorganic Chemistry,  
Academy of Sciences of the USSR, Moscow*

The synthesis of the protected 74-membered polypeptide with the entire amino acid sequence of  $\alpha$ -bungarotoxin was described. The optimal route for assembling this peptide from the fragments 1-19, 20-74, 1-37 and 38-74 was found. The peculiarities of the secondary structure of the protected peptides were correlated with their length and solubility using CD-spectroscopy.